

مقاله

سیستم‌های ارتباطی تغییر کلیدینگ آشوبی دیفرانسیلی دوسویه کدگذاری شده قطبی برای کانال‌های صوتی زیرآبی

ویاسر عطا یاسین^۱علی‌جابر العسکری^{۱,*}، فاضل صاحب‌حسن^{۲,†}

^۱ گروه‌هندگی های مهندسی اتوماسیون و کنترل، دانشکده فنی مهندسی برق، دانشگاه فنی میانه، بغداد ۳۲۰۱، عراق؛
yasser.attah76@mtu.edu.iq

^۲ گروه‌هندگی های مهندسی برق، دانشگاه مستنصریه، بغداد ۱۰۰۵۲، عراق؛ fadel_sahib@uomustansiriyah.edu.iq

* مکاتبات: a.alaskery@mtu.edu.iq ; تلفن: +964-7817569229 این
† نویسنده‌گان به طور مساوی در این کار مشارکت داشته‌اند.

چکیده: کانال آکوستیک زیر آب (UWA) باعث تأخیرهای انتشار زیادی می‌شود و نرخ خطای بیت (BER) سیستم‌های ارتباطی سیم را کاهش می‌دهد. توزیع t توزیع بهینه برای انجام نویز UWA است. در این مطالعه، ارتباط کلیدزنی تغییر آشوب تفاضلی قطبی کد شده (DCSK) و کلیدزنی تغییر آشوب متعارض (QCSK) با نویز UWA در نظر گرفته شده است. ابتدا، ما یک PDF برای کانال نویز UWA پیشنهاد کرده ایم و بر اساس این BER نظری استخراج شده است. دوم، عملکرد کدگذاری قطبی برای نشان دادن بهبود عملکرد BER در مقایسه با سیستم UWA بدون کد با استفاده از شبیه‌سازی های مونت کارلو تعیین شده است. نتایج تجربی ثابت می‌کند که نزدیکترین مدلی که برای کانال UWA قابل اجرا است، توزیع t با پنج و شش درجه آزادی است. فرمول‌های BER سیستم‌های مدولاسیون آشوبی با کد قطبی را نسبت به سیستم‌های بدون کد در کانال‌های UWA تأیید می‌کند.

کلمات کلیدی: آکوستیک زیر آب؛ سیستم‌های کدگذاری قطبی؛ QCSK؛ DCSK



استناد: العسکری، ع. حسن، ف. اس.

پاسین. ۷A با کد قطبی

سیستم‌های ارتباطی کلیدزنی شیفت

دیفرانسیل / مربعی آشوب برای کانال‌های

آکوستیک زیر آب، مخابرات ۵۲۴۲۴

/ 10.3390/telecom5020024

. ۴۸۶-۴۷۶. <https://doi.org/10.3390/telecom5020024>

ویراستار علمی: ماریو ای. ریورو-

آنلر

دریافت: ۱۱ مه ۲۰۲۴

اصلاح شده: ۳۰ مه ۲۰۲۴

پذیرفته شده: ۱۳ ژوئن ۲۰۲۴

منتشر شده: ۱۸ ژوئن ۲۰۲۴

حق نشر: © ۲۰۲۴ توسط نویسنده‌گان. دارنده مجوز MDPI. بازل، سوئیس.

این مقاله با مقاله با دسترسی آزاد است تیکل

که تحت شرایط مجوز CC 4.0 و

آنها BY () <http://creativecommons.org/licenses/by/4.0/>

Creative Comm Attribution CC //

توزیع شده است.

یک تکنیک جدید ارتباط صوتی طیف گسترده آشوبی در [۱] ارائه شده است. با استفاده از سیگنال آشوناک یک سیستم دینامیکی ترکیبی به عنوان یک دنباله طیف گسترده.

با توجه به کاربردهای کانال‌های آکوستیک زیر آب (UWA) در حوزه‌های نظامی و غیرنظامی، مطالعه ویژگی‌های عملکرد آنها بسیار مهم است. اکانال‌های UWA با تداخل چندمیسره شدید، شیفت داپلر بالا، محوشدگی قوی، نرخ داده پایین و پهنای باند محدود مشخص می‌شوند [۲-۴]. تابع چگالی احتمال (PDF) این کانال‌دارای یک دنباله پهن با رفتار ضربه‌ای است که با تابع چگالی احتمال گاویس متفاوت است و همین امر باعث می‌شود توزیع t برای مدل سازی این کانال راحت‌تر باشد [۵-۸].

۱. مقدمه

با توجه به کاربردهای کانال‌های آکوستیک زیر آب (UWA) در حوزه‌های نظامی و غیرنظامی، مطالعه ویژگی‌های عملکرد آنها بسیار مهم است. اکانال‌های UWA با تداخل چندمیسره شدید، شیفت داپلر بالا، محوشدگی قوی، نرخ داده پایین و پهنای باند محدود مشخص می‌شوند [۲-۴]. تابع چگالی احتمال (PDF) این کانال‌دارای یک دنباله پهن با رفتار ضربه‌ای است که با تابع چگالی احتمال گاویس متفاوت است و همین امر باعث می‌شود توزیع t برای مدل سازی این کانال راحت‌تر باشد [۵-۸].

تکنیک‌های یادگیری عمیق و مدولاسیون با کدگذاری کانال به طور گسترده برای بهبود نرخ خطای بیت (BER) در این کانال‌ها مورد بررسی قرار گرفته است. یک کانال ارتباطی آماری UWA در [۹] پیشنهاد شده است. که در آن اثرات کوچک و بزرگ جابجایی‌های تصادفی محلی مورد بحث قرار گرفت. اجزای بهره بزرگ و میکروچندمیسره در مدل گنجانده شده اند که اعوجاج گاویس پیچیده‌ای ایجاد می‌کنند. یک مدل محاسباتی کارآمد برای شبیه‌سازی عددی کانال از طریق ارزیابی تحلیلی خواص همبستگی زمانی و همبستگی فرکانسی توسعه داده شد. توابع نوع بسلت، تغییرات اضافی ناشی از حرکت و جابجایی‌های سطحی را توصیف می‌کنند. یک مدل مناسب برای کل انرژی یا بهره، که به طور متوسط در مقیاس‌های کوچک محاسبه شده است، توزیع لگاریتمی نرمال است. دقت مدل در نمایش توزیع تلفات انتقال و بهره‌های مسیر کوتاه مدت از طریق اعتبارسنجی با استفاده از داده‌های واقعی از آزمایش‌ها تأیید شده است. از تلفات لگاریتمی برای توصیف تلفات انتقال در مقیاس بزرگ استفاده شده است.

یک تکنیک جدید ارتباط صوتی طیف گسترده آشوبی در [۱] ارائه شده است. با استفاده از سیگنال آشوناک یک سیستم دینامیکی ترکیبی به عنوان یک دنباله طیف گسترده.

انتشارچندگانه و نویز از طریق اعمال یک فیلتر تطبیق یافته آشوبی مربوطه کاهش یافته است. این تکنیک، برخلاف ارتباطات صوتی مرسوم، نیاز به فناوری های پیچیده مدولاسیون-دمدولاسیون و اکولاپز کanal را از بین برده است. طبق نتایج شبیه سازی، رویکرد پیشنهادی به نرخ خطای تخمین (BER) پایین تری نسبت به برخی از روش های دیگر که در حال حاضر استفاده می شوند، دست یافته است.

همانطور که در [نشان داده شده است]، از مشخصه متعامد کد والش برای ترکیب تراشه های مرجع آشوبناک و تراشه های حامل اطلاعات در واحد زمان/فرکانس یکسان استفاده شد.^[۱۱] یک جایگذار تغییر چرخه ای برای بهره برداری از تنوع فرکانس در تراشه ها به کار گرفته شد. BER سیستم تحت کanal های گاووسی و کanal های محوشگی چندمسیره ریلی از طریق شبیه سازی تجزیه و تحلیل و اعتبارسنجی شد. راندمان طیفی سیستم پیشنهادی با سایر سیستم های ارتباطی مبتنی بر آشوب مقایسه شد. این مطالعه همچنین عملکرد BER را تحت کanal های UWA ارزیابی کرد و آن را با طیف های گستردۀ توالی مستقیم (SS) MC سنتی و سیستم های کلیدزنی تغییر آشوب دیفرانسیل (DCSK) مبتنی بر مالتی پلکسینگ تقسیم فرکانس متعامد (OFDM) مقایسه کرد. نتایج شبیه سازی، قدرت سیستم را تحت کanal های UWA متغیربا زمان تأیید کرد.

یک راهنمای مختصر برای شبیه سازی کanal های UWA در [ارایه شده است]^[۱۲]، با تأکید بر مدل سازی شبکه. روش متعادل ارایه شد که سهولت مدل سازی خودکار با سیستم هایی مانند سیستم شبیه سازی اقیانوس جهانی (WOSS) را با سازگاری مدل سازی کanal سطح پایین از طریق ردیابی پرتو ترکیب من کند. یک کد شبیه سازی MATLAB که با BELLHOP برای تولید داده های کanal برای شبیه سازی های شبکه آکوستیک زیر آب (UAN) ارتباط برقرار می کند، در این آموزش گنجانده شده است. این تحقیق شامل یک مطالعه موردی برای هر یک از دو روش برای گنجاندن این داده ها در شبیه سازی های شبکه بود: (1) وارد کردن مستقیم آنها به عنوان یک جدول جستجو و (2) استفاده از آنها برای ساخت یک مدل کanal آماری. هدف اصلی این مقاله ارایه یک ابزار مدل سازی مفید و منبع یادگیری به محققان پروتکل UAN بود. بینش های رویکرد مدل سازی کanal آماری، پتانسیل آن را به عنوان ابزاری قابل اعتماد برای تحقیقات آینده UAN برگسته من کند.

مطالعه ای بر روی شبکه های حسگر بن سیم زیر آب (UWSN) در [] انجام شد.^[۱۳] با شبیه سازی ظرفیت کanal مطابق با دما و شوری آب. نتیجه، تأثیر معیارهای مختلف مانند آب و هوا، محیط و دما را بر ویژگی های کanal نشان داد. الگوریتمی که از یادگیری ماشین با پیش بینی کیفیت استفاده می کند، در [] پیشنهاد شده است.^[۱۴] برای شبکه های UWA. از یک الگوریتم رگرسیون لجستیک (LR) برای پیش بینی BER بین فرستنده و گیرنده استفاده شد. این پیش بینی شامل نسبت سیگنال به نویز (SNR)، دما و سرعت باد، علاوه بر چندین عامل محیطی است. در نتیجه، انرژی مصرفی کاهش یافت و این روش با آزمایش های عملی در دریاچه فورونگ اعتبارسنجی شد.

الگوریتمی که از سیستم های OFDM در کanal های UWA با تخمین کanal مشترک و کاهش نویز ضربه ای استفاده می کند، در [] پیشنهاد شده است.^[۱۵] که یادگیری بیزی پرآنده را با فیلتر کالمن ترکیب من کند. الگوریتم پیشنهادی، زیر حامل ها را با استفاده از الگوریتم SBL و فیلتر کالمن ادغام می کند تا به طور مشترک کanal های متغیر با زمان را تخمین بزند، داده ها را شناسایی کند و کارایی را افزایش دهد. برای اعتبارسنجی این الگوریتم، آزمایش هایی در رودخانه سوان در استرالیا برای جمع آوری داده ها انجام شد و نتایج بهبود از نظر BER و نرخ خطای فریم را نشان داد.

برای دستیابی به نرخ داده بالاتر و عملکرد BER بهبود یافته، سیستمی در [] معرفی شده است.^[۱۶] اکه از نگاشت بیت های اضافی به طول شیفت چرخه ای توالی های روی هم قرار گرفته در شاخه های هم فار/ متعامد استفاده می کند. از طریق شبیه سازی و آزمایش میدانی، اثربخش سیستم در محیط های انتقال UWA متغیر با زمان نشان داده شد. این سیستم همچنین از نظر تئوری برای BER روی یک کanal نویز سفید گاووسی (AWGN) افزایشی مورد تجزیه و تحلیل قرار گرفت.

در این مقاله، بررسی سیستم های ارتباطی DCSK با کد قطبی برای کanal های UWA با فرض توزیع t با پنج و شش درجه آزادی انجام می شود. این بررسی با پیشنهاد یک PDF برای توزیع نویز و تأیید دقیقت آن با استفاده از روش نیکویی برآشش آغاز می شود؛ سپس، نتیجه برای استخراج یک BER نظری استفاده می شود و با نتیجه حاصل از شبیه سازی مونت کارلو مقایسه می شود. سپس، سیستم با کد قطبی بررسی می شود تا بهبود BER در مقایسه با ... نشان داده شود.

عملکرد بدون کد. این کار به شرح زیر سازماندهی شده است: در بخش ۳ مدل کanal برای UWA ارائه شده است، بخش ۲ کد قطبی و نحوه‌ی کارگیری آن در سیستم پیشنهادی را ارائه می‌دهد، بخش ۴ مدل‌های سیستم QCSK و DCSK را برای UWA، بخش نشان می‌دهد، بخش ۵ شامل تحلیل BER، بخش ۶ شبیه‌سازی و نتایج را ارائه می‌دهد، بخش ۷ نتایج را مورد بحث قرار می‌دهد، و این مقاله در بخش نتیجه‌گیری شده است.

۲. کد قطبی

یک کد کنترل خطاب با لغو متواالی که به ظرفیت نزدیک می‌شود، بر اساس [۱] پیاده سازی شده است. در نتیجه متمایز ظاهر می‌شود، کanal های بی نویز و کanal های تقریباً کاملاً نویزی، زیرا طول کلمه کد M با کanal قطبی شده به بی نهایت نزدیک می‌شود. بیت های اطلاعات در طول فرآیند رمزگذاری در کanal های بی نویز خالص اختصاص داده می‌شوند، در حالی که بیت های منجمد از طریق کanal های بی صدا منتقل می‌شوند. بردار اطلاعات $\mathbf{x}_1^M = \mathbf{x}_1^M G_M = \mathbf{x}_1^M B_M F_2^{\otimes m}$ (۱) به عنوان نشان داده شده است [۲].
ایکس، ۲، ...، ایکس م) نشان دهنده اطلاعات (بیتی است. ایکس الف و تکه های باقی مانده منجمد شده اند و جی بار= جی چه عنوان نرخ کدگذاری. کلمه کد به شکل زیر است:

$$(1) \quad \mathbf{x}_1^M = \mathbf{x}_1^M G_M = \mathbf{x}_1^M B_M F_2^{\otimes m}$$

کجا جی، ب موف مترنشان دهنده ماتریس مولد، ماتریس جایگشت معکوس بیت و مترتوان کرونکر ازف ۲ به ترتیب. ف نشان دهنده ماتریس هسته است، یعنی:

$$(2) \quad F_2 = \begin{bmatrix} 1 & 0 \\ 1 & 1 \end{bmatrix}$$

در گیرنده، رمزگشای لغو متواالی (SC) تولید می‌کند ایکس م مشاهده (ی) ایکس الف) نسبت درستنمایی (LR) (من) (ای) ایکس م) را می‌توان از طریق محاسبه کرد

$$(3) \quad L_M^{(i)}(y_1^M, \hat{x}_1^{i-1}) = \frac{W_M^{(i)}(y_1^M, \hat{x}_1^{i-1} | 0)}{W_M^{(i)}(y_1^M, \hat{x}_1^{i-1} | 1)}$$

کجا دلیلیو (من) / گاما احتمال نویزی است که گاما. یا ۱ است. تصمیم این است

$$(4) \quad \hat{x}_i = \begin{cases} x_i, & i \in A^c \\ h_i(y_1^M, \hat{x}_1^{i-1}), & i \in A \end{cases} \quad (i = 1, 2, 3, \dots, M)$$

and

$$(5) \quad h_i(y_1^M, \hat{x}_1^{i-1}) = \begin{cases} 0, & L_M^{(i)}(y_1^M, \hat{x}_1^{i-1}) \geq 1 \\ 1, & \text{otherwise} \end{cases}$$

کجا حمنشان دهنده توابع تصمیم گیری است که به تمام عناصر تصمیم گیری (DE) بعدی ارسال می‌شوند.
محاسبه LR بر اساس فرمول های بازگشتن به صورت زیر ارائه می‌شود:

$$(6) \quad L_M^{(2i-1)}(y_1^M, \hat{x}_1^{2i-2}) = f\left(L_{M/2}^{(i)}\left(y_1^{M/2}, \hat{x}_{1,o}^{2i-2} \oplus \hat{x}_{1,e}^{2i-2}\right), L_{M/2}^{(i)}\left(y_{M/2+1}^M, \hat{x}_{1,e}^{2i-2}\right)\right)$$

$$(7) \quad L_M^{(2i)}(y_1^M, \hat{x}_1^{2i-1}) = g\left(L_{M/2}^{(i)}\left(y_1^{M/2}, \hat{x}_{1,o}^{2i-2} \oplus \hat{x}_{1,e}^{2i-2}\right), L_{M/2}^{(i)}\left(y_{M/2+1}^M, \hat{x}_{1,e}^{2i-2}\right), \hat{x}_{2i-1}\right)$$

$$(8) \quad f(a, b) = \frac{1 + ab}{a + b}$$

$$(9) \quad g(a, b, \hat{x}_{sum}) = a^{1-2\hat{x}_{sum}} b$$

a, b and \hat{x}_{sum} are defined as follows

$$(10) \quad a = L_{M/2}^{(i)}(y_1^{M/2}, \hat{x}_{1,0}^{2i-2} \oplus \hat{x}_{1,e}^{2i-2})$$

$$(11) \quad b = L_{M/2}^{(i)}(y_{M/2+1}^M, \hat{x}_{1,e}^{2i-2})$$

$$(12) \quad \hat{x}_{sum} = \hat{x}_{2i-1}$$

۳. مدل های کانال و نویز UWA

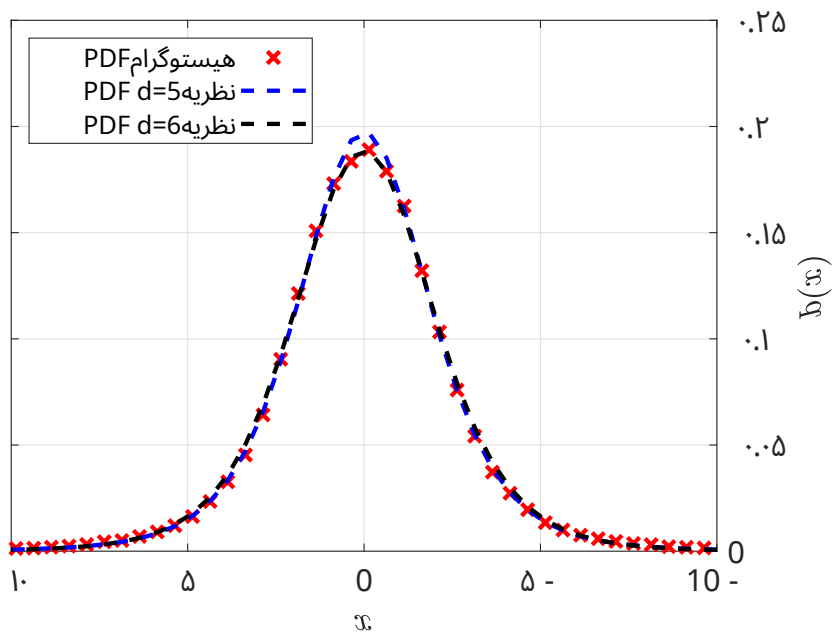
در این بخش، مدل های کانال برای سیستم UWA که توسط اثر نویز نشان داده شده اند، با استفاده از شبیه سازی های MATLAB R2023b برای نشان دادن ویژگی های تطبیق نشان داده خواهند شد. مدل سازی نویز UWA بر اساس [۱] انجام می شود. با استفاده از ابزار برازش MATLAB، در حالی که نویز در عمق ۴ تا ۱۲ مترا ندازه گیری می شود.تابع هیستوگرام MATLAB بر روی مدل نویز در گیرنده اعمال شده و با PDF های مختلف با توزیع t مقایسه می شود، یعنی [۱۴]

$$(13) \quad f_r(x, d) = \frac{\Gamma\left[\frac{d+1}{2}\right]}{\sigma \sqrt{\pi(d-2)\Gamma\left(\frac{d}{2}\right)}} \left(1 + \frac{x^2}{\sigma^2(d-2)}\right)^{-\frac{d+1}{2}}$$

که در آن $\Gamma(\cdot)$ تابع گاما است، σ انحراف معیار است، درجه آزادی برای تابع توزیع t است و یکسنتغیر تصادفی است. نزدیکترین مدلی که برای این مدل قابل استفاده است، توزیع t با پنج و شش درجه آزادی است، یعنی:

$$(14) \quad \left. \begin{array}{l} f_r(x, 5) = \frac{0.49}{\sigma} \left(1 + \frac{(x+\mu)^2}{3\sigma^2}\right)^{-3} \\ f_r(x, 6) = \frac{0.46875}{\sigma} \left(1 + \frac{(x+\mu)^2}{4\sigma^2}\right)^{-3.5} \end{array} \right\}$$

نمودار هیستوگرام مدل نویز در مقابل معادله (۱۴) در شکل نشان داده شده است که تطابق نزدیک بین دونمودار را نشان می دهد. علاوه بر این، برای تأیید تطابق نزدیک بین این نمودارها، از آزمون نیکویی برازش کولموگروف-اسمیرنوف (KS) استفاده شد [۲۰-۱۸] در سطح معنی داری ۵٪ استفاده می شود. نتیجه آزمون بود که نشان می دهد دو نمونه به هم نزدیک هستند و نمی توان آنها را رد کرد، به خصوص در درجه آزادی شش.



شکل ۱. کام مقایسه هیستوگرام از مدل نویز با توزیع در پنج و شش درجه آزادی.

۴. سیستم‌های ارتباطی QCSK و DCSK برای UWA

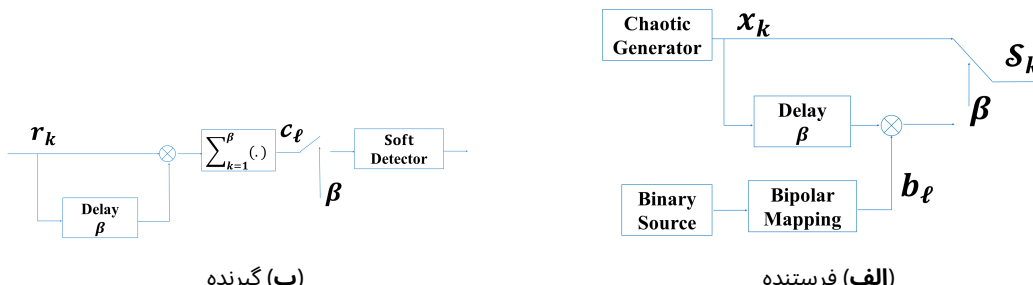
شکل ۳ بلوك فرستنده و گيرنده يك سیستم DCSK را نشان می دهد. در ابتدا، داده ورودی ام به نماد نگاشت می شود [۲۳]؛ سپس، سیگنال فرستنده DCSK برای اولین داده ورودی که توسط [داده شده است:] [۲۴]

$$(15) \quad S_k = \begin{cases} x_k & k = 1, \dots, \beta \\ b_1 x_{k-\beta} & k = \beta + 1, \dots, 2\beta \end{cases}$$

که در آن آبنا نشان دهنده ضرب پخش است. در گيرنده، خروجي همبسته ساز نشان دهنده متغير تصميم گيرنده است. بيت هفتم، جل. که به صورت زير بيان می شود:

$$(16) \quad c_l = \sum_{k=1}^{\beta} r_k \cdot r_{k+\beta}$$

کجاري دنباله دريافتني است. در اينجا، نيازى به عبور متغير تصميم از آستانه گذاري نداريم زيرا خروجي همبسته ساز مستقيماً به رمزگشاي قطبين متصل است.



شکل ۲. سیستم فرستنده و گيرنده DCSK پيشنهادي.

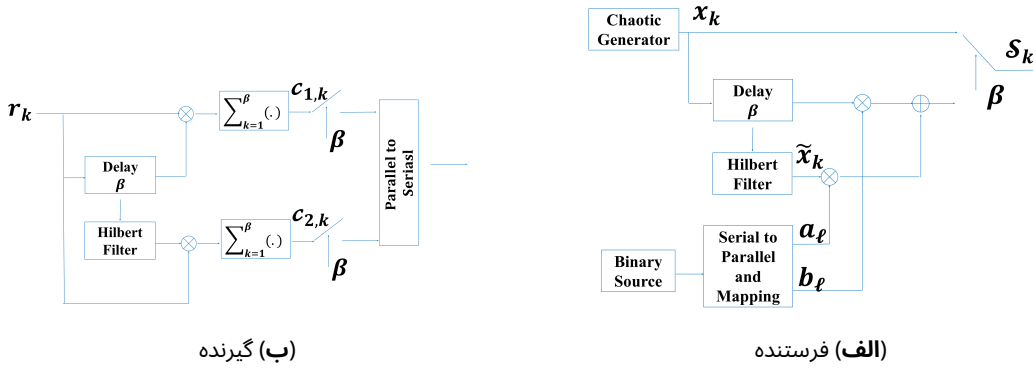
شکل ۴ بلوك فرستنده و گيرنده سیستم QCSK را نشان می دهد. در ابتدا، دو نماد موازي [الف، ب] [۲۵] به ترتيب در دنباله آشوبی مرجع و تبدیل هیلبرت دنباله آشوبی مرجع ضرب می شوند. پس از آن، دو دنباله ضرب شده با هم جمع شده و با استفاده از همان سناريو برای سیستم DCSK مدوله می شوند. سیگنال فرستنده QCSK برای دو داده ورودی اول، رابطه زير برقرار است [۲۶]:

$$(17) \quad S_k = \begin{cases} x_k, & k = 1, \dots, \beta \\ \frac{1}{\sqrt{2}}(a_1 x_{k-\beta} + b_1 \bar{x}_{k-\beta}), & k = \beta + 1, \dots, 2\beta \end{cases}$$

کجا يك سک تبدیل هیلبرت است. يك سک سیگنال. در گيرنده، دو خروجي همبسته سازها نشان دهنده متغيرهای تصميم گيري هستند [چ]. که به صورت زير بيان می شوند:

$$(18) \quad \begin{aligned} c_{1,l} &= \sum_{k=1}^{\beta} r_k \cdot r_{k+\beta} \\ c_{2,l} &= \sum_{k=1}^{\beta} \tilde{r}_k \cdot r_{k+\beta} \end{aligned}$$

کجاري تبدیل هیلبرت دنباله دريافتني است [چ]. مشابه سیستم DCSK، نيازى به عبور متغير تصميم از آستانه گذاري نیست زيرا خروجي همبسته ساز مستقيماً به رمزگشاي قطبين متصل است.

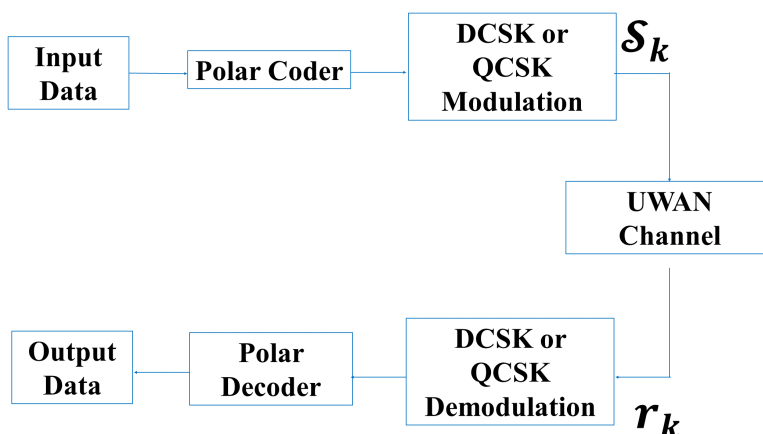


شکل ۳. سیستم فرستنده و گیرنده QCSK پیشنهادی.

شکل ۴^{۱۶} شکل دیاگرام شماتیک سیستم آکوستیک زیر آب (UWAS) را با استفاده از یک سیستم مدولاسیون آشوب دیفرانسیل نشان می‌دهد. داده‌های ورودی با استفاده از یک کدگذار قطبی کدگذاری می‌شوندو سپس مدولاسیون DCSK یا QCSK برای تولید سیگنال ارسالی UWA به کار گرفته می‌شود. در گیرنده، سیگنال ارسالی با سیگنال نویز که متعلق به توزیع t است، همانطور که در (۲) توضیح داده شده است (در اینجا، فقط سیگنال نویز در نظر گرفته شده است)، جمع می‌شود. سیگنال دریافتی تحت کanal UWAN رامی توان به صورت زیر بیان کرد:

$$(19) \quad r_k = S_k + n_k$$

کجانگی سیگنال نویزی است که از توزیع t با میانگین و واریانس صفر پیروی می‌کند. $n/0.2$. پس از آن، دمودولاسیون آشوب دیفرانسیل با یک خروجی نرم به کار گرفته می‌شود و برای بازیابی بیت‌های داده اصلی به رمزگشای قطبی اعمال می‌شود.



شکل ۴. مبتنی بر مدولاسیون آشوب دیفرانسیلی UWAS

۵. تحلیل BER سیستم‌های DCSK و QCSK تحت کanal UWA

در این بخش، فرمول‌های BER سیستم‌های QCSK و DCSK برای مدل UWA با استفاده از توزیع نویز دریخشن ... استخراج می‌شوند.^{۱۷} برای سیستم DCSK، پس از جایگزینی (۱۵) و (۱۹) در (۱۶) و با فرض $\beta = 1$ ، خروجی‌همبسته ساز که با نشان داده شده است جمله رامی توان به صورت زیر بازنویسی کرد:

$$(20) \quad \begin{aligned} c_l &= \sum_{k=1}^{\beta} (x_k + n_k) \cdot (x_k + n_{k+\beta}) \\ &= \sum_{k=1}^{\beta} x_k^2 + 2 \sum_{k=1}^{\beta} n_k \cdot x_k + \sum_{k=1}^{\beta} n_k \cdot n_{k+\beta} \end{aligned}$$

میانگین میکرو او واریانس سیگما ۲ امقادیر جمی با استفاده از محاسبه می‌شوند

$$(21) \quad \mu_1 = E(c_l) = \beta E(x_k^2)$$

$$(22) \quad \sigma_1^2 = V(c_l) = 2\beta \cdot E(x_k^2) \frac{N_0}{2} + \frac{1}{4}\beta \cdot N_0^2$$

آنگاه مقادیر میانگین و واریانس بر حسب ای برا می توان به صورت زیر بیان کرد:

$$(23) \quad \begin{aligned} \mu_1 &= E_b/2, \\ \sigma_1^2 &= E_b \cdot \frac{N_0}{2} + \frac{1}{4}\beta \cdot N_0^2 \end{aligned}$$

بهطور مشابه، برای QCSK، و با فرض $\alpha = 1$ ، متغیر تصمیم‌ج‌اول در (۱۸) بر حسب (بازنویسی می شود. ۱۹) و (۱۹) به عنوان

$$(24) \quad \begin{aligned} c_{1,l} &= \sum_{k=1}^{\beta} (x_k + n_k) \left(\frac{1}{\sqrt{2}} (x_k + \bar{x}_k) + n_{k+\beta} \right) \\ &= \frac{1}{\sqrt{2}} \sum_{k=1}^{\beta} x_k^2 + \frac{1}{\sqrt{2}} \sum_{k=1}^{\beta} x_k \bar{x}_k + \sum_{k=1}^{\beta} x_k n_{k+\beta} + \frac{1}{\sqrt{2}} \sum_{k=1}^{\beta} n_k x_k + \frac{1}{\sqrt{2}} \sum_{k=1}^{\beta} n_k \bar{x}_k + \sum_{k=1}^{\beta} n_k n_{k+\beta} \end{aligned}$$

باتوجه به تعامد، عبارت دوم در (۲۴) صفر است (۱)،
وواریانس، سیگما^۲، مقادیر ج‌اول به صورت زیر بیان می شوند:

$$(25) \quad \mu_2 = E(c_{1,l}) = \frac{1}{\sqrt{2}} \beta E(x_k^2)$$

$$(26) \quad \sigma_2^2 = V(c_{1,l}) = 2\beta \cdot E(x_k^2) \frac{N_0}{2} + \frac{1}{4}\beta \cdot N_0^2$$

معادلات (۲۵) و (۲۶) بر حسب بازنویسی می شوند ای ب = $\sum_{k=1}^{\beta} n_k$ ای ب عناوون

$$(27) \quad \begin{aligned} \mu_2 &= E_b / \sqrt{2} \\ \sigma_2^2 &= E_b \cdot N_0 + \frac{1}{4}\beta \cdot N_0^2 \end{aligned}$$

معادله (۲۷) برای متغیر تصمیم معتبر است. از (۲۳) و (۱۹)، فرمول BER سیستم DCSK را می توان برای هر دو درجه آزادی به گونه ای بدست آورد که

$$(28) \quad \begin{aligned} P_e^5 &= \int_0^\infty \frac{0.49}{\sigma} \left(1 + \frac{(x + \mu)^2}{3\sigma^2} \right)^{-3} dx \\ &= 0.5 - \frac{0.55125\sigma\mu(\mu^2 + 5\sigma^2)}{(\mu^2 + 3\sigma^2)^2} - 0.318264 \tan^{-1} \left(\frac{\mu}{\sqrt{3}\sigma} \right) \end{aligned}$$

$$(29) \quad \begin{aligned} P_e^6 &= \int_0^\infty \frac{0.46875}{\sigma} \left(1 + \frac{(x + \mu)^2}{3\sigma^2} \right)^{-3.5} dx \\ &= 0.5 - \frac{0.015625\mu(\mu^4 + 10\mu^2\sigma^2 + 30\sigma^4)}{(0.25\mu^2 + \sigma^2)^{2.5}} \end{aligned}$$

Similarly, for the QCSK, the BER formula can be written as

$$(30) \quad \begin{aligned} P_e^5 &= 1 - \frac{1.1025\sigma\mu(\mu^2 + 5\sigma^2)}{(\mu^2 + 3\sigma^2)^2} - 0.6365 \tan^{-1} \left(\frac{\mu}{\sqrt{3}\sigma} \right) \\ P_e^6 &= 1 - \frac{0.03125\mu(\mu^4 + 10\mu^2\sigma^2 + 30\sigma^4)}{(0.25\mu^2 + \sigma^2)^{2.5}} \end{aligned}$$

۶. شبیه سازی و نتایج

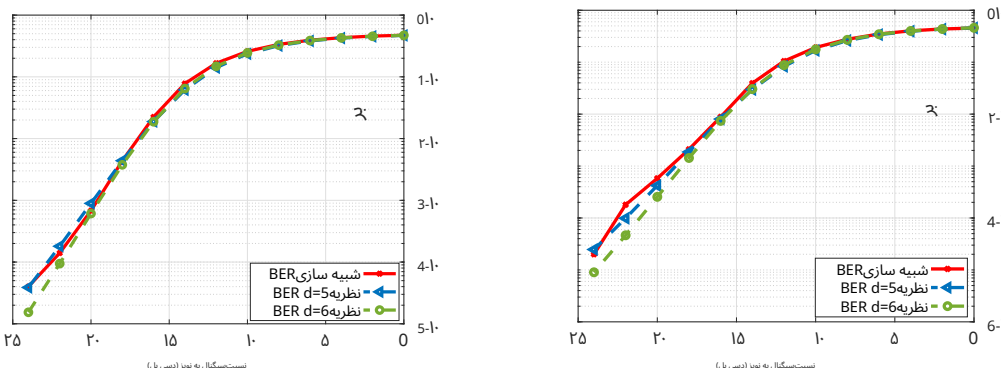
در این بخش، شبیه سازی های سیستم پیشنهادی به همراه نتایج نظری با استفاده از MATLAB 2023 ارائه خواهد شد. سپس، نتایج در بخش بعدی برای نشان دادن دقت عملکرد مورد بحث قرار خواهد گرفت.

۷. بحث

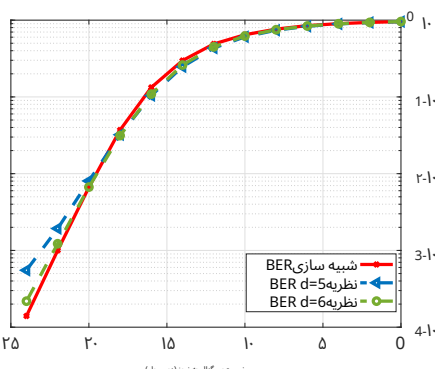
براساس BER مشتق شده در بخش ۵، شبیه سازی در شکل ۵ عملکرد سیستم های DCSK با مقادیر بتای ۱۲۸ و ۲۵۶ را نشان می دهد. نتایج تطابق نزدیک با BER مشتق شده از معادلات (۱) نشان می دهند.^(۲۸) و ^(۲۹) که ثابت می کند که PDF پیشنهادی و BER نظری می توانند برای توصیف عملکرد استفاده شوند.

به طور مشابه، شکل ۶ نشان می دهد که سیستم های QCSK با مقادیر بتای ۱۲۸ و ۲۵۶ چقدر خوب عمل می کنند. نتایج، تطابق قوی با BER مشتق شده از معادله (۲) نشان می دهند.^(۳۰) که کاربرد پذیری هر دو BER نظری و PDF پیشنهادی را در توصیف عملکرد اثبات می کند.

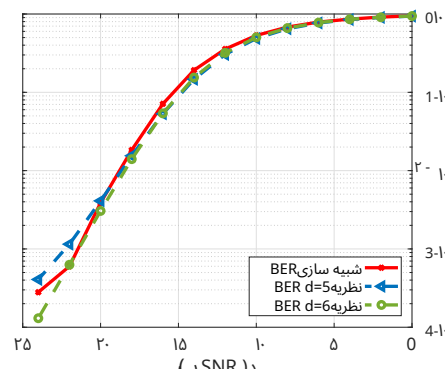
نتیجه نمایش داده شده در شکل های ۷ و ۸ عملکرد سیستم های DCSK و QCSK کدگذاری شده قطبی را برای مقادیر بتای مختلف و برای نرخ های مختلف نشان می دهد. بسته به نرخ های کدگذاری پیشنهادی، بهبود عملکرد بین بالاترین و پایین ترین نرخ ها برای هر دو مدولاسیون بیش از ۵ دسی بل بود. علاوه بر این، مقایسه نتایج سیستم کدگذاری شده و سیستم های کدگذاری نشده، توانایی کدهای قطبی را در دستیابی به بهبود عملکرد بیش از ۸ دسی بل در SNR در کمترین نرخ کدگذاری و ۱۴ دسی بل در بالاترین نرخ در BER = ۱۰ نشان می دهد.^(۳۱) که می تواند در این نوع کانال ها یک چالش باشد.



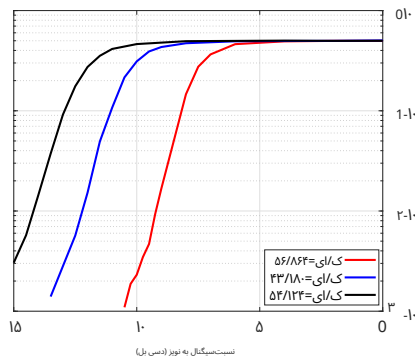
شکل ۵ . عملکرد-توزیع حادر-توزیع الف) DCSK با (بتا = ۱۲۸) و (بتا = ۲۵۶) فیلتر = ۱۲۸ و ۲۵۶ .



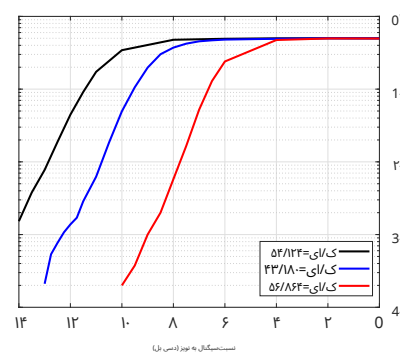
شکل ۶ . اجرای QCSK با (بتا = ۱۲۸) و (بتا = ۲۵۶) کانال در مقایسه با نهادر-توزیع الف) QCSK با (بتا = ۱۲۸) و (بتا = ۲۵۶) من داده فتوویرآب ر معادله (۳۰) .



شکل ۷ . اجرای QCSK با (بتا = ۱۲۸) و (بتا = ۲۵۶) من داده فتوویرآب ر معادله (۳۰) .

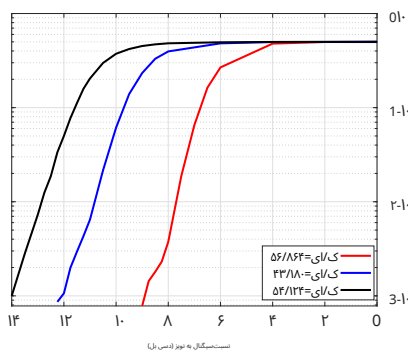


۲۵۶ = DCSK قطبی کد با (بتا)

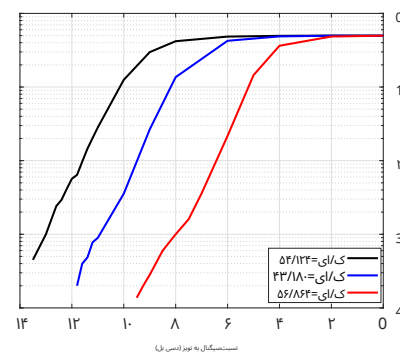


الف با کد قطبی DCSK (بتا = ۱۲۸)

شکل ۷. عملکرد DCSK با کدگذاری قطبی با-کanal زیر آب توزیع شده و برای بتا = ۱۲۸ و ۲۵۶.



۲۵۶ (ب) با کد قطبی QCSK بباشد



الف با کد قطبی QCSK (بتا = ۱۲۸)

شکل ۸. عملکرد QCSK با کدگذاری قطبی با-کanal زیر آب توزیع شده و برای بتا = ۱۲۸ و ۲۵۶.

نیوجہ گیری

دراین مقاله، DCSK با کد قطبی و QCSK با کد قطبی در کانال های نویزی زیر آب مورد تجزیه و تحلیل و شبیه سازی قرار گرفته اند. فرمول های BER برای سیستم های DCSK و QCSK در یک کانال نویز UWA استخراج و با نتایج شبیه سازی مقایسه شده اند. آزمایش χ^2 برای برآورده کردن مطابقتی بین نتایج شبیه سازی و نتایج تجربی انجام شده است.

القوشکت ثور مشارکت ها: مفهوم توالیز (الجهنم هوایوری هند (AJA) -الف.و.ف.س. ح؛ روش شناسی، AJA-A. و؛ FSH؛ هاکلرید افزار، الفجا-آ. یک د هرگونه محکم فولیکولی والید ایونینگ، به لی، آجا-آ. و FSH؛ تحلیل رسمی، AJA-A. القوهای مدرن، میکروفلیکولی تحقیق و تفحص ن، یا لی؛ تحقق منابع، بانا AJA-A. و FSH؛ نوشتن - یا دکتر اصلی آماده سازی پس از آنک، یا AJA- فعش؛ نویسنده گرمه بررسی و ویرایش، AJA-A. و FSH؛ ویسو آلریشنس، ای جن. الف. الفند فسپریست SH؛ هیلون، FSH؛ مدیریت پیروزه، YAY؛ بودجه آنکه باز جوینی هورا، ای جن الفلاف. آن د افاس ح همانه نویسنگان هاخوانده اند وبا نسخه منتشر شده موافقت کرد ام ای مانوس چهره دین

فتهافت: تحقیقات او دریافت د نه ۵ صندوق خارجی هست.

دليونداخته شده است دکانا **الفوجوددر** **رسوارکاري** **حالتowanایي مترودي:** دکتايل

سایرگیری‌ها علاوه‌تی حمایه‌کنونیکی ای پس دی اعلام عدم همکاری فلزاتی اطلاعات و ارتباطات مورد هتل.

اختصارات

در این دست نوشه از اختصارات زیر استفاده شده است:

آکوستیک زیر آب	دانشگاه وسترن استرالیا (WA)
نسبت سیگنال به نویز	اس ان آر
نرخ خطای بیت	بر
کلیدزنی شیفت آشوب دیفرانسیلی	دیس اس کی
کلیدزنی شیفت آشوب تربیعی تابع	کیوس اس کی
چگال احتمال	پن دی اف

منابع

۱. شعمرمی، اریزونا؛ العبوسی، وای وای؛ خمیس، ان اج. ویژگی های نویز صوتی زیر آب در آب های کم عمق در دریاهای گرم‌سیری. در مجموعه مقالات کنفرانس بین المللی مهندسی کامپیوتر و ارتباطات، کوالا‌لمپور، مالزی، ۲۵-۳۱ سپتامبر ۲۰۱۴. [\[کراس رف\]](#)
۲. چن، پ؛ رانگ، ی؛ نوردهولم، س؛ هن، ز؛ دانکن، ای. جن. تخمین کanal مشترک و کاهش نویز ضربه ای در سیستم های ارتباطی OFDM آکوستیک زیر آب. ارتباطات بین سیم IEEE ۲۰۱۷-۶۱۴۵، ۱۶، ۱۷۸-۶۱۷. [\[کراس رف\]](#)
۳. چیتر، م؛ اونگ، ش؛ پاتر، ج. عملکرد OFDM کدگذاری شده در کانال های آب بسیار کم عمق و نویز میگویی گازگیر. در مجموعه مقالات اقیانوس ها IEEE MTS، واشنگتن دی سی، ایالات متحده، ۱۷ تا ۲۳ سپتامبر ۲۰۰۵. [\[کراس رف\]](#)
۴. احمد، ام. اس؛ شاه، ان. اس. ام؛ غوبر، اف؛ جوهر، یا. ای؛ المحمدی، آ. ای. OFDM فیلتر شده با کدگذاری کانال مبتنی بر نویز توزیع T برای ارتباط صوتی زیر آب. محیط. هوشمند اومانیز. محاسبه کنید. ۰۲.۰۲.۰۴۰۲-۳۳۷۹-۳۳۹۲. [\[کراس رف\]](#)
۵. ل. دی؛ وو، واي؛ ژو، ام. کد LDPC غیر دودویی برای ارتباط صوتی زیر آب غیر همدوس تحت نویز غیر گاووس. در مجموعه مقالات کنفرانس بین المللی IEEE ۲۰۱۷ در مورد پردازش سیگنال، شیامن، چین، ۲۲ تا ۲۵ اکتبر ۲۰۱۷. [\[کراس رف\]](#)
۶. یوسف العبوسی، ی؛ زوری شعامری، ع. بهبود تشخیص سیگنال زیر آب با استفاده از تکنیک نویززدایی زمان-فرکانس کارآمد و فیلتر پیش سفیدکننده. کاربرد آکوستیک. ۰۲۰۱۷-۹۳.۱۰۶. [\[کراس رف\]](#)
۷. پانارو، جن؛ لوپز، اف؛ باریرا، ال؛ سوزرا، اف. مدل نویز صوتی زیر آب برای ارتباطات آب های کم عمق. در مجموعه مقالات سمپوزیوم مخابرات برزیل، برزیلیا، برزیل، ۱۶-۱۳ سپتامبر ۲۰۱۲. [\[کراس رف\]](#)
۸. محمد شاه، ن. س؛ العبوسی، ی. واي؛ احمد، م. س. تحلیل عملکرد خطا در نویز آکوستیک زیر آب با توزیع غیر گاووس. مخابرات. کامپیوتر. الکترون. کنترل ۲۰۱۸، ۱۶، ۶۸۱. [\[کراس رف\]](#)
۹. قره باغی، پ؛ استیوانوویچ، م. توصیف آماری و مدل سازی محاسباتی کارآمد دسته ای از کانال های ارتباطی آکوستیک زیر آب. IEEE J. Ocean. Eng. ۲۰۱۳-۲۰۱۳-VII-۷-۱. [\[کراس رف\]](#)
۱۰. رن، اج-پی؛ کونگ، کیو-جی؛ بای، سی. یک سیستم طیف گسترده آشوبناک برای ارتباطات صوتی زیر آب. در مجموعه مقالات سمپوزیوم بین المللی بین سیم IEEE ۲۰۱۵، شنزن، چین، ۳۰ مارس - ۱ آوریل ۲۰۱۵. [\[کراس رف\]](#)
۱۱. چن، م؛ شو، دبلیو؛ وانگ، د؛ وانگ، ل. طرح ارتباط آشوبناک چندHamiltonی آماری برای ارتباطات صوتی زیر آب. IET ۲۰۱۹-۲۰۹۷، ۱۳. [\[کراس رف\]](#)
۱۲. موروز، ن؛ گورما، دبلیو؛ هنسون، بی تی؛ شن، ل؛ میچل، پی دی؛ زاخاروف، واي. وی. مدل سازی کanal برای شبیه سازی شبکه آکوستیک زیر آب. دسترسی ۰۲۰۲۰-۱۳۶۱۵-۱۳۶۷۵-۱۳۶۱۳. [\[کراس رف\]](#)
۱۳. زناج، ای؛ گامبی، ای؛ زناج، بی؛ دیشا، دی؛ کولا، ان. شبکه های حسگر بی سیم زیر آب: تخمین کanal صوتی در آب های کم عمق. علوم کاربردی. ۰۲۰۲۰-۱۱.۰۲۰۹۳. [\[کراس رف\]](#)
۱۴. چن، واي؛ یو، دبلیو؛ سان، ایکس؛ وان، ال؛ تائو، واي؛ شو، ایکس. پیش بینی کیفیت کanal ارتباطی آگاه از محیط برای انتقال های صوتی زیر آب: یک روش یادگیری ماشین. کاربرد آکوستیک. ۰۲۰۲۱-۱۲۸. [\[کراس رف\]](#)
۱۵. وانگ، س؛ هن، ز؛ نیو، ک؛ چن، پ؛ رانگ، ی. نتایج جدید در تخمین و ردیابی نویز کanal مشترک و ضربه ای در سیستم های OFDM آکوستیک زیر آب. ارتباطات بین سیم IEEE ۲۰۱۹-۲۶۱۲-۲۶۱-۰۲۰۲۰. [\[کراس رف\]](#)
۱۶. اوی، واي؛ کوان، ال؛ شو، دبلیو؛ وانگ، دی؛ وانگ، ال. یک سیستم ارتباطی طیف گسترده به کمک مدولاسیون شاخص هم فاز/متعادل برای ارتباط صوتی زیر آب. الکترونیک. ۰۲۰۲۳-۰۲۰۲۹. [\[کراس رف\]](#)
۱۷. آریکان، ای. قطبش کanal: روشی برای ساخت کدهای دستیابی به ظرفیت برای کanal های متقارن بدون حافظه با ورودی دودویی. نظریه انتقال اطلاعات IEEE ۰۲۰۰۹-۳۰۵۱، ۵۵. [\[کراس رف\]](#)
۱۸. کولادارسی، ت؛ کاب، س. دی؛ مینیوم، ای. دبلیو؛ کلارک، آرسی. مبانی استدلال آماری در آموزش و پرورش؛ جان واپلی و پسران؛ نیویورک، نیویورک، ایالات متحده آمریکا. ۲۰۱۰.
۱۹. العسکری، ای. جن؛ تسمینیدیس، سی سی؛ بوساکتا، اس؛ چمیرز، جی. ای. تحلیل عملکرد سیستم های MIMO-OFDM انبوه کدگذاری شده با استفاده از وارونگی ماتریسی مؤثر. ارتباطات ترانس IEEE ۰۲۰۱۷-۵۲۴۴-۵۲۵۶-۶۵. [\[کراس رف\]](#)
۲۰. العسکری، ع؛ الناجی، ع؛ الصباح، م. بهبود عملکرد سیستم های توربوقد شده تحت کanal های محوشونده سوزوکی. مجله الکترون. کم توان. کاربرد. ۰۲۰۱۹، ۹. ۱۳. [\[کراس رف\]](#)

۲۱. شيئا، واي؛ تسه، سى. کى؛ لاو، اف. سى. ام. عملکرد سیستم های ارتباطی دیجیتال با کلیدزنی شیفت آشوب دیفرانسیل روی یک کانال محوشگی چندمسیره با پخش تأخیر. خلاصه های سریع سیستم های مدارهای ترانس *IEEE II*، ۵۱، ۲۰۰۴. [کراس رف]
۲۲. گالیاس، ز؛ ماگیو، جى. ام. کلیدزنی آشوب-جایجایی تربیعی: نظریه و تحلیل عملکرد. سیستم مدارهای ترانس *IEEE*, نظریه بنیادی، کاربرد، ۳۸، ۲۰۰۱، ۱۵۱۹-۱۵۱. [کراس رف]

سلب مسئولیت/یادداشت ناشر: اظهارات، نظرات و داده های موجود در تمام نشریات صرفاً متعلق به نویسنده(گان) و مشارکت کننده(گان) است و نه MDPI و/یا سردبیر(گان). MDPI مسئولیت هرگونه آسیب به افراد یا اموال ناشی از هرگونه ابده، روش، دستورالعمل یا محصولی که در محتوا به آن اشاره شده است را از خود سلب می کنند.